

OPRL II.

KLIMATICKÁ ZMĚNA A NÁVRH ADAPTAČNÍCH OPATŘENÍ V LESÍCH

PLO 2b Podkrušnohorské pánve – Mostecká a Žatecká pánev

1. Úvod
2. Podklady
3. Kritéria pro vyhodnocení scénářů KZ
4. Návrh adaptačních opatření
5. Přílohy

1. ÚVOD

Potenciál rezistence a rezilience lesních porostů v souvislosti s klimatickou změnou (KZ) je podmíněn **ekologickými limity lesních dřevin, vlastnostmi půdy a klimatickými podmínkami, především stresovými klimatickými faktory**. Rozhodující je **ekologická stabilita** lesního ekosystému, tj. schopnost vyrovnat se se změnou environmentálních podmínek. Podstatnou myšlenkou je zdůraznění neoddělitelné vazby jednotek potenciální přirozené vegetace s charakteristikami klimatu (Tüxen, 1956; Moravec, 1998).

Platí princip, že ve vyšších nadmořských výškách je limitujícím faktorem teplota, srážek je relativní dostatek. V nižších polohách jsou naopak limitujícím faktorem převážně srážky. Negativní vliv zvýšené teploty se zde projevuje prostřednictvím zvýšené evapotranspirace. Klasifikace klimatu v lesních ekosystémech je charakterizována vegetační stupňovitostí. Lesní vegetační stupně (LVS) jsou dále podmíněny charakterem mezoklimatu (topoklimatu) za spolupůsobení některých vlastností ekotopu. Jde tedy o celý komplex podmínek ovlivňujících výsledný poměr klimaxových dřevin.

Hlavními determinátory rozdílů výškového a expozičního klimatu jsou na prvním místě stromovitě synusie hlavní úrovně přirozených lesních cenóz, reagující rozhodným způsobem na délku vegetační doby a na případné negativní vlivy klimatu (Zlatník, 1976). Dřevinnou skladbou charakterizované LVS jsou základními jednotkami pro nepřímé vyjádření výškového klimatu (vertikální stupňovitosti). Pro označení LVS je rozhodující dřevinná skladba ekologické živné řady, kde je kromě výraznější diferenciace bohatých fytoocenóz i užší závislost na výškovém klimatu. Dochází tak k vymezení zonálních LVS, které ctí posloupnost nadmořské výšky.

2. PODKLADY

Hlavním zdrojovým materiálem jsou podklady ČHMÚ, které byly zpracovány ve spolupráci s Centrem výzkumu globální změny AV ČR. Odvozená klimatická data byla zpracována pro zonální LVS v rámci přírodních lesních oblastí (PLO). Principem vyhodnocení klimatických dat pro LVS je úzká vazba mezi LVS a klimatickými charakteristikami. Exaktní odvození klimatických charakteristik lesních vegetačních stupňů moderními geostatistickými metodami bylo z hlediska rozložení lesních komplexů s absencí klimatických stanic nezbytné.

Pracovníky brněnské pobočky ČHMÚ byly spočítány prostorové průměry základních klimatických charakteristik (průměrná denní teplota, denní úhrn srážek) pro **období A (1961–1990)** a pro **období B (1991–2009)** pro zonální LVS, vyskytující se v jednotlivých PLO (Macků, 2014; 2015).

Kromě těchto základních charakteristik byl zjišťován i výskyt klimatických extrémů – počet dní s denním úhrnem srážek menším než 1 mm, které se ve vegetačním období vyskytly v obdobích delších než 10 dnů za sebou (D10), počet dnů ve vegetačním období, kdy byla průměrná denní teplota vyšší než 30 °C (T30).

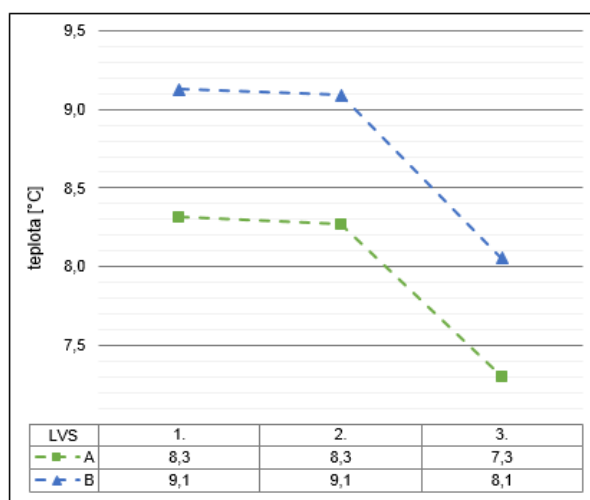
Porovnáním průběhu klimatických dat v obdobích A, B získáme přehled o jejich změnách a trendech. V současné době je k dispozici 30letý tzv. **operativní klimatický normál pro období 1981–2010, ozn. období B** dle LVS v PLO, jako srovnávací platforma pro scénáře KZ.

Modely scénářů KZ, které byly použity pro výpočet budoucích podmínek, byly vybrány kombinací objektivních a subjektivních kritérií ze souboru 40 vhodných GCMs (General Circulation Models), reprezentujících scénář **HadGem** s variantami tzv. **RCP** (Representative Concentration Pathways), kdy se zvýší radiační působení o $4,5 \text{ W}\cdot\text{m}^{-2}$ (RCP 45) a zvýšení radiačního působení o $8,5 \text{ W}\cdot\text{m}^{-2}$ (RCP 85). Klimatická data scénáře KZ HadGem s variantami RCP 45 a RCP 85 byla zpracována pro období **B = 1981–2010, C = 2021–2040, D = 2041–2060, E = 2081–2100**.

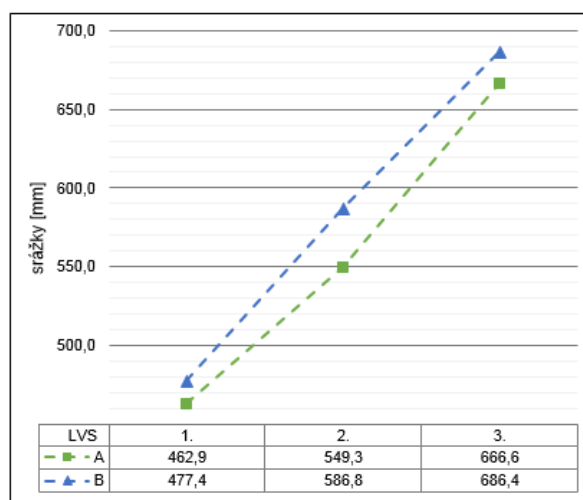
3. KRITÉRIA PRO VYHODNOCENÍ SCÉNÁŘŮ KZ

Klimatické limity lesních dřevin jsou vymezeny LVS dle zařazení klimatických variant PLO a jejich parametry. Extrémním suchem jsou ohrožené především smrkové porostní typy (PT) překračující limitní parametry střední hodnoty stresového faktoru D10 ve vegetační sezóně na 45,8 dní a na 7,4 dní pro T30. V posloupnosti LVS lze hovořit o xerické anomálii 1. LVS, označené jako 1^x.

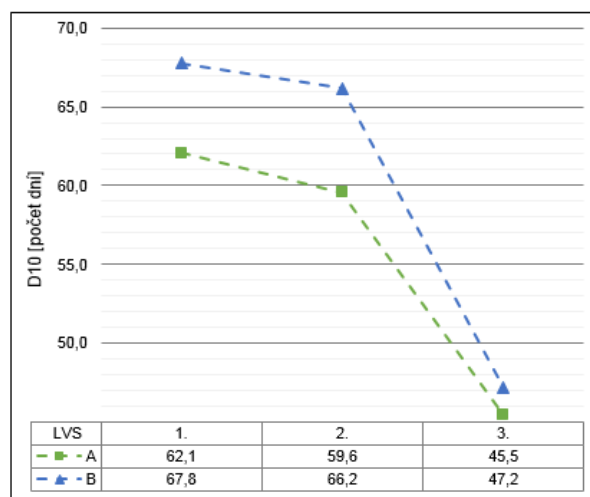
3.1 Průběh trendů vybraných klimatických dat dle LVS v obdobích A 1961–1990, B 1991–2009



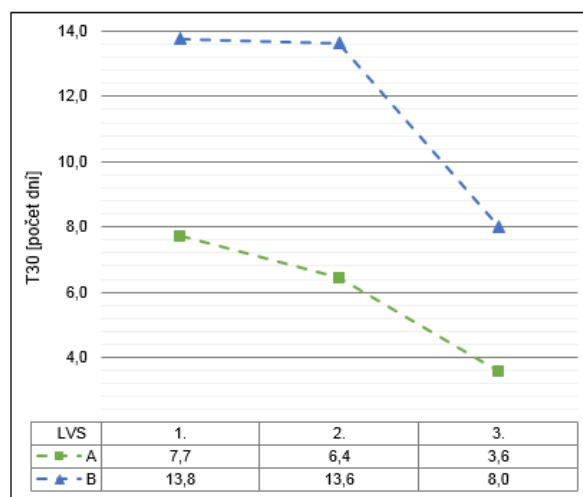
Obr. 1: Průběh průměrných ročních teplot



Obr. 2 : Průběh sumy ročních srážek



Obr 3: Průběh stresového faktoru D10

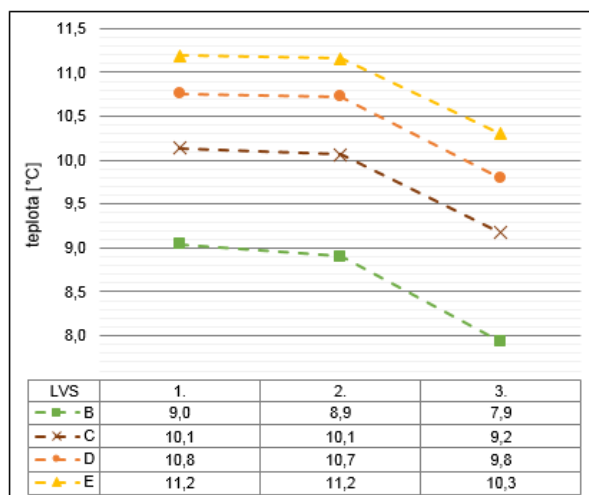


Obr. 4: Průběh stresového faktoru T30

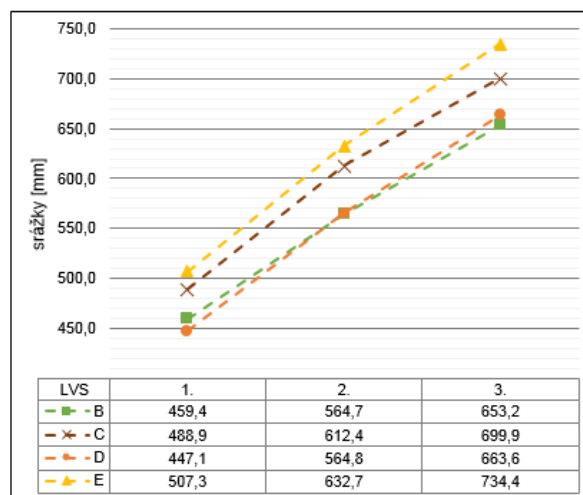
Komentář: Průměrná roční teplota vykazovala nárůst $0,8 \text{ }^\circ\text{C}$, roční suma srážek s nárůstem $14,5\text{--}37,5 \text{ mm}$, stresový faktor T30 vykazoval nárůst o $4,4\text{--}7,2 \text{ dní}$ a nárůst D10 byl v rozmezí $1,7\text{--}6,6 \text{ dní}$.

3.2 Průběh variant scénáře KZ HadGem

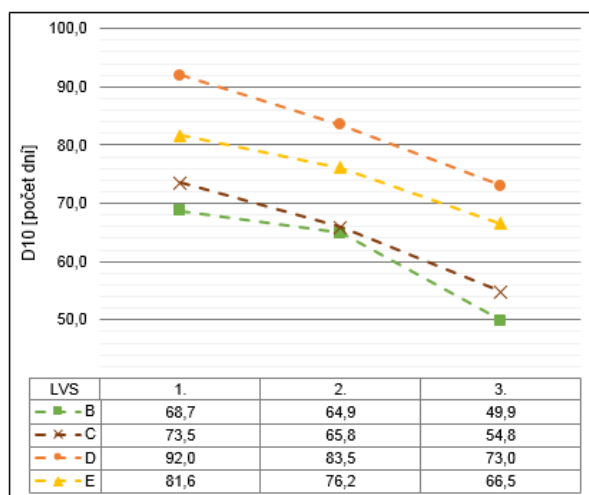
3.2.1 Varianta RCP 45



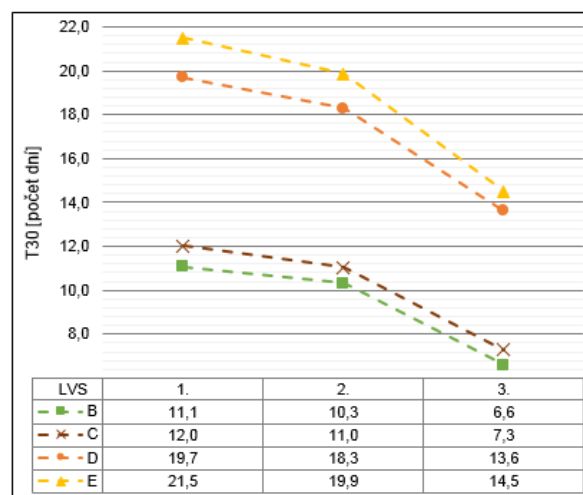
Obr. 5: Průběh průměrných ročních teplot



Obr. 6: Průběh roční sumy srážek



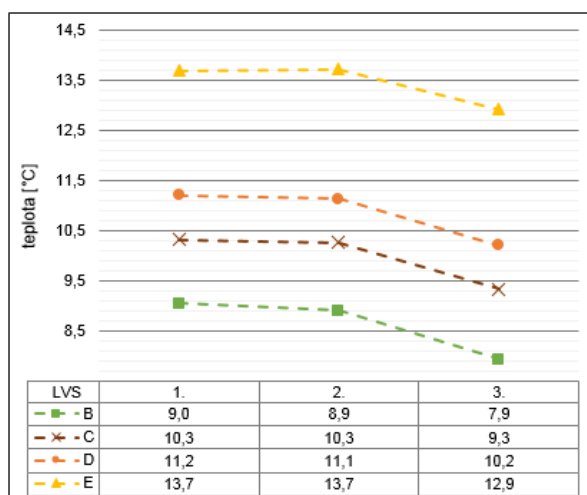
Obr. 7: Průběh stresového faktoru D10



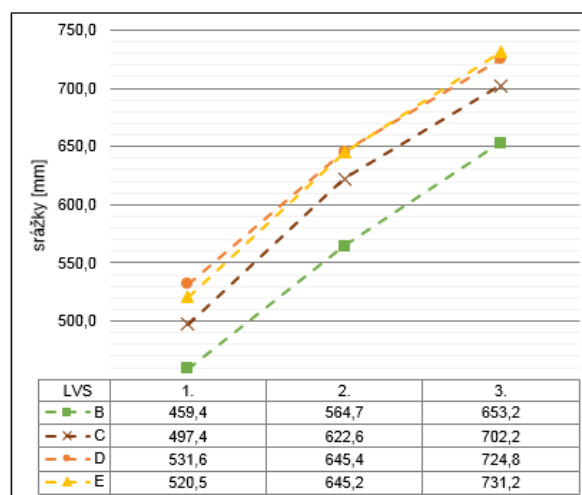
Obr. 8: Průběh stresového faktoru T30

Komentář: Průměrné roční teploty představují v období E nárůst hodnot o 2,2–2,4 °C, nárůst sumy ročních srážek je v rozmezí 47,9–81,2 mm, stresový faktor T30 narůstá až o 7,9–10,4 dní, stresový faktor D10 narůstá v období D o 18,6–23,3 dní.

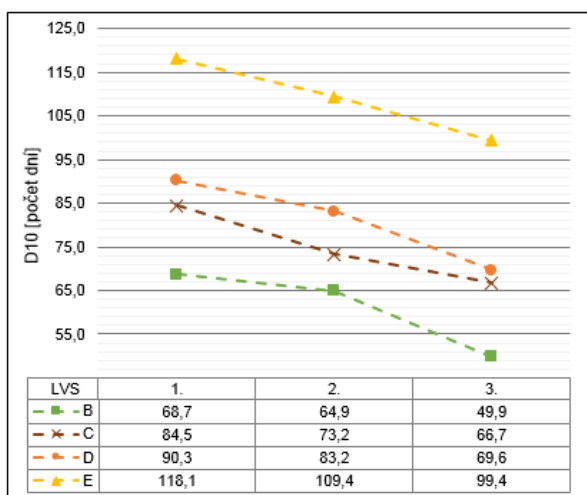
3.2.2 Varianta RCP 85



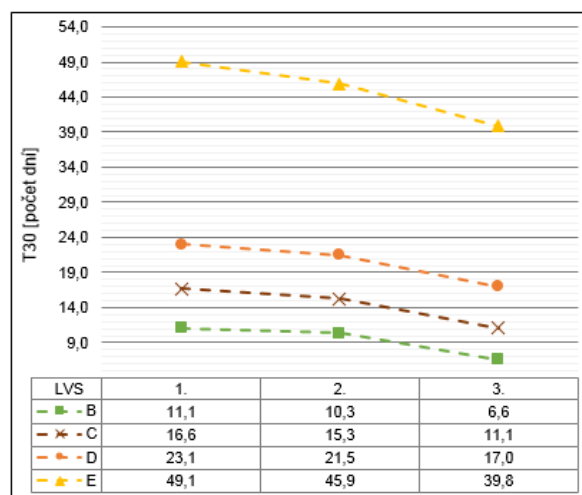
Obr. 9: Průběh průměrných ročních teplot



Obr. 10: Průběh sumy ročních srážek



Obr. 11: Průběh stresového faktoru D10



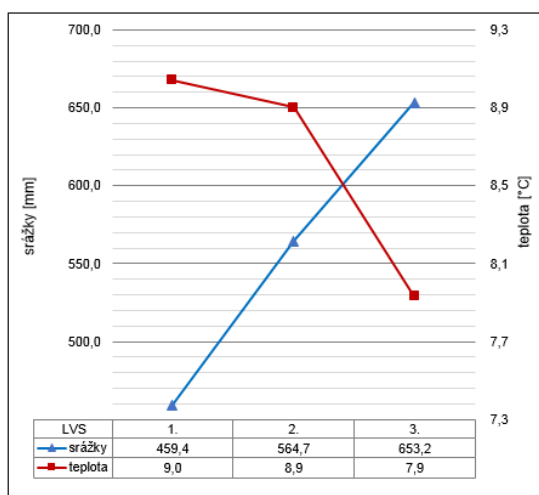
Obr. 12: Průběh stresového faktoru T30

Komentář: Nárůst průměrné roční teploty se pohybuje o 4,7–5 °C, sumy ročních srážek vykazují nárůst o 72,2–80,7 mm, nárůst stresového faktoru T30 se pohybuje v rozmezí o 33,2–38 dní, nárůst stresového faktoru D10 je o 44,5–49,5 dní.

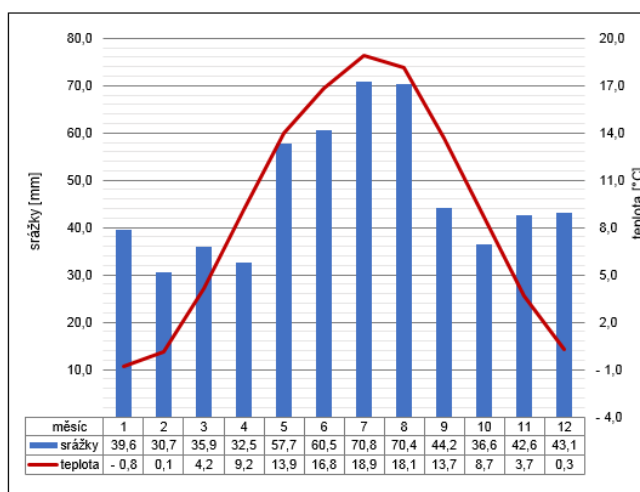
3.3 Predikce scénáře KZ na úroveň LVS

3.3.1 Vymezení řídicího LVS

Zásadním krokem pro predikci KZ na úroveň LVS je vymezení řídicího LVS v PLO z podkladů operativního klimatického normálu (1981–2010). Ten je determinován průsečíkem sumy ročních srážek a ročních průměrných teplot PLO. Řídicí LVS je charakterizován vyrovnanými hodnotami sumy ročních srážek a průměrných ročních teplot. Podrobný průběh sumy ročních srážek a průměrných ročních teplot dokumentuje klimadiagram, reprezentativnost pak zastoupení LVS v PLO.

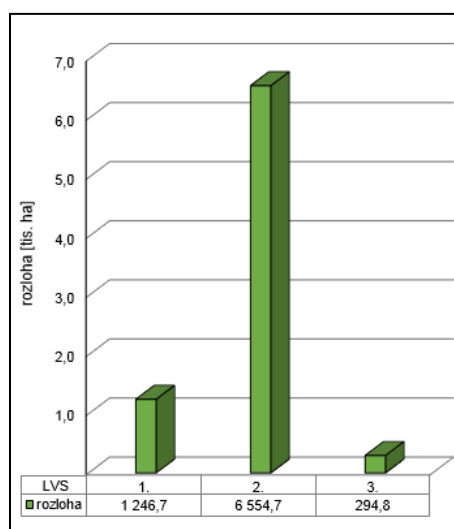


Obr. 13: Průběh roční sumy srážek a průměrných teplot

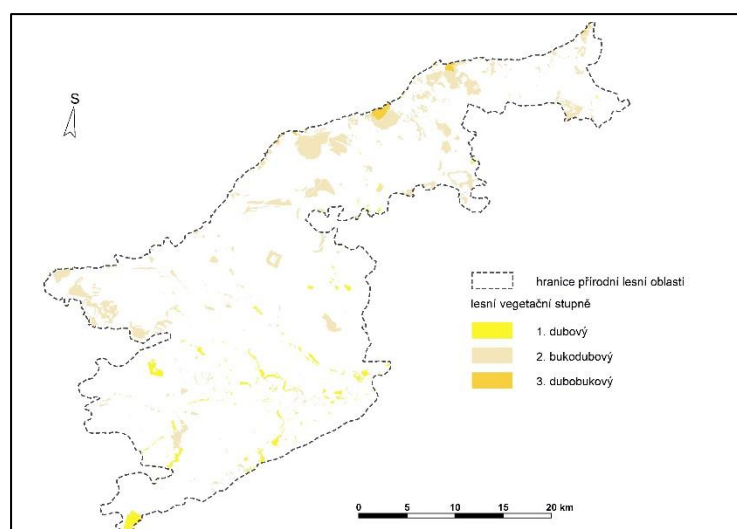


Obr. 14: Klimadiagram pro 2. LVS

Srovnávací platformou pro vyhodnocení scénářů zkoumané PLO je zonální 2. LVS. S klimatickými parametry: průměrnou roční teplotou 8,9 °C, sumou ročních srážek 564,7 mm, stresovými faktory D10 s hodnotou 64,9 dní a T30 s 10,3 dny náleží PLO k variantě xerické, prezentované anomálními klimatickými hodnotami.



Obr. 15: Zastoupení LVS v PLO 2b



Obr. 16: Prostorová lokalizace LVS v PLO 2b

3.3.2 Aproximace klimatických dat scénáře KZ na úroveň transformovaných LVS

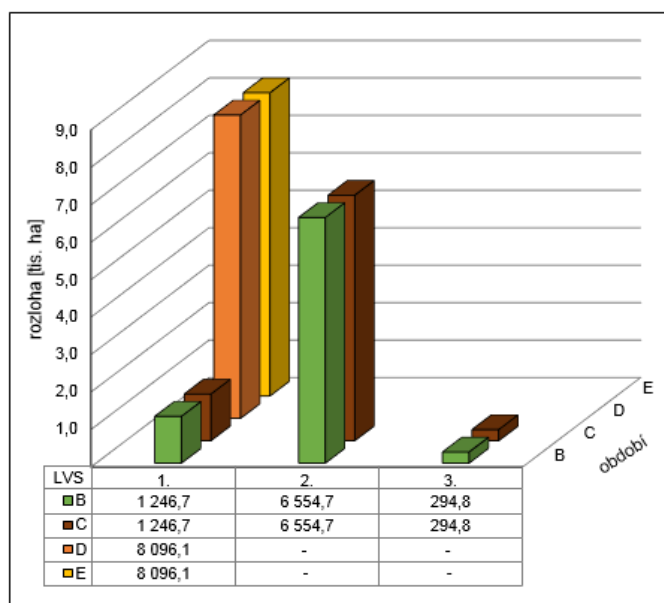
Východním podkladem pro aproximaci LVS jsou parametry šetřených klimatických dat řídicího 2. LVS pro xerickou variantu ve srovnatelných PLO 2b a 8b pro jednotlivá období. Aktualizace stavu zastoupení LVS je k 1. 1. 2019.

Tab. 1: Srovnání hodnot klimatických dat v období B pro 2. LVS xerické varianty KVS

LVS	1.	2.	3.
teplota [°C]	8,9	8,7	8,0
srážky [mm]	486,3	561,0	619,2
D10 [počet dní]	62,9	61,8	52,6
T30 [počet dní]	11,3	10,7	8,3

Aproximací hodnot šetřených dat vytvořením bodového pole proloženého polynomickou regresí dostaneme hodnotu transformovaného LVS. Výsledné zastoupení transformovaných LVS je orientační, podstatné jsou hodnoty klimatických dat v dané klimatické variantě PLO.

Varianta RCP 45



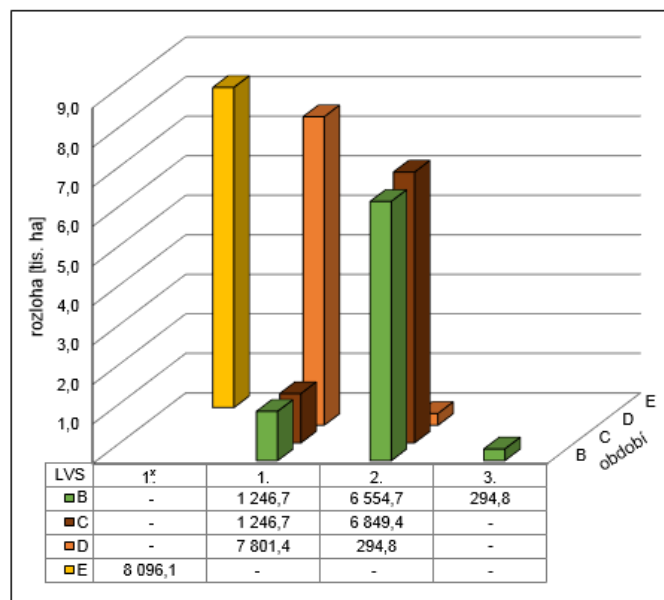
Obr. 17: Zastoupení LVS v jednotlivých obdobích

Komentář: Výrazněji jsou transformací dotčena období D a E s predikcí do 1. LVS. Prostorová lokalizace transformovaných LVS dle období je patrná z mapové přílohy.

Tab. 2: Aproximace LVS v jednotlivých obdobích

LVS	období			
	B	C	D	E
1.	1.	1.	1.	1.
2.	2.	2.	1.	1.
3.	3.	3.	1.	1.

Varianta RCP 85



Obr. 18: Zastoupení LVS v jednotlivých obdobích

Komentář: V období C dochází k transformaci 3. LVS na úroveň 2. LVS. V období D pak k predikci na úroveň 1. LVS v 1. a 2. LVS, ve 3. LVS na úroveň 2. LVS. V období E jsou 1.–3. LVS transformovány na xerickou anomálii 1^x. Příčinou je nárůst stresových faktorů. Prostorová lokalizace transformovaných LVS dle období je patrná z mapové přílohy.

Tab. 3: Aproximace LVS v jednotlivých obdobích

LVS	období			
	B	C	D	E
1.	1.	1.	1.	1 ^x .
2.	2.	2.	1.	1 ^x .
3.	3.	2.	2.	1 ^x .

4. Návrh adaptačních opatření

4.1 Vymezení ohrožených porostních typů

Smrkové porosty se v PLO 2b (stav k 30. 4. 2019) vyskytují sporadicky na 22 ha (0,3 % PLO). Dle analýz klimatických dat v jednotlivých obdobích KZ a v současnosti jsou smrkové porostní typy na úrovni kritického ohrožení.

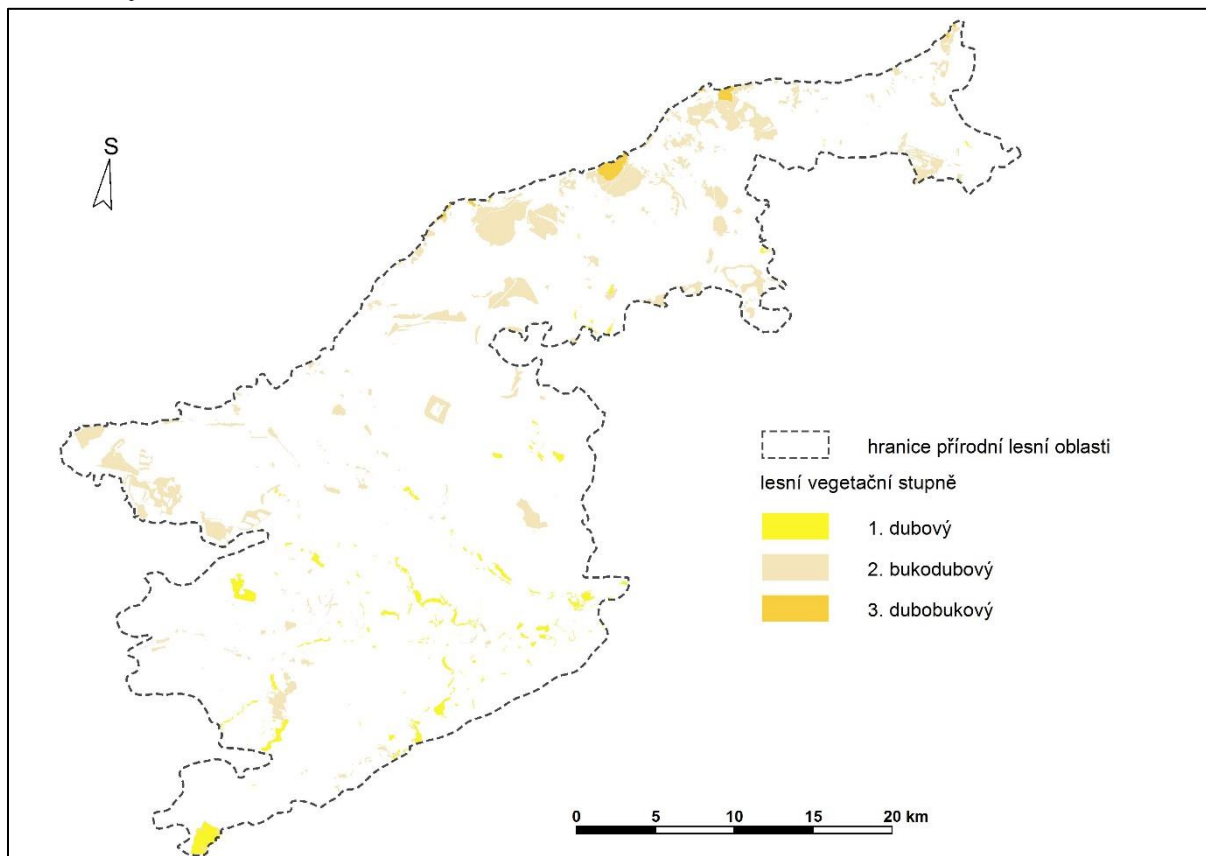
4.2 Návrh základních hospodářských doporučení

Posoudit propojení váhy mezi naplněním klimatických scénářů v jednotlivých obdobích, podmíněných pravděpodobností spouštěcího mechanismu pro napadení porostů houbovými patogeny, vychází z pojetí principu předběžné opatrnosti. Východiskem pro návrh základních hospodářských doporučení je vyhl. č. 298/2018 Sb. Zde jsou navrženy alternativy CDS včetně zastoupení MZD.

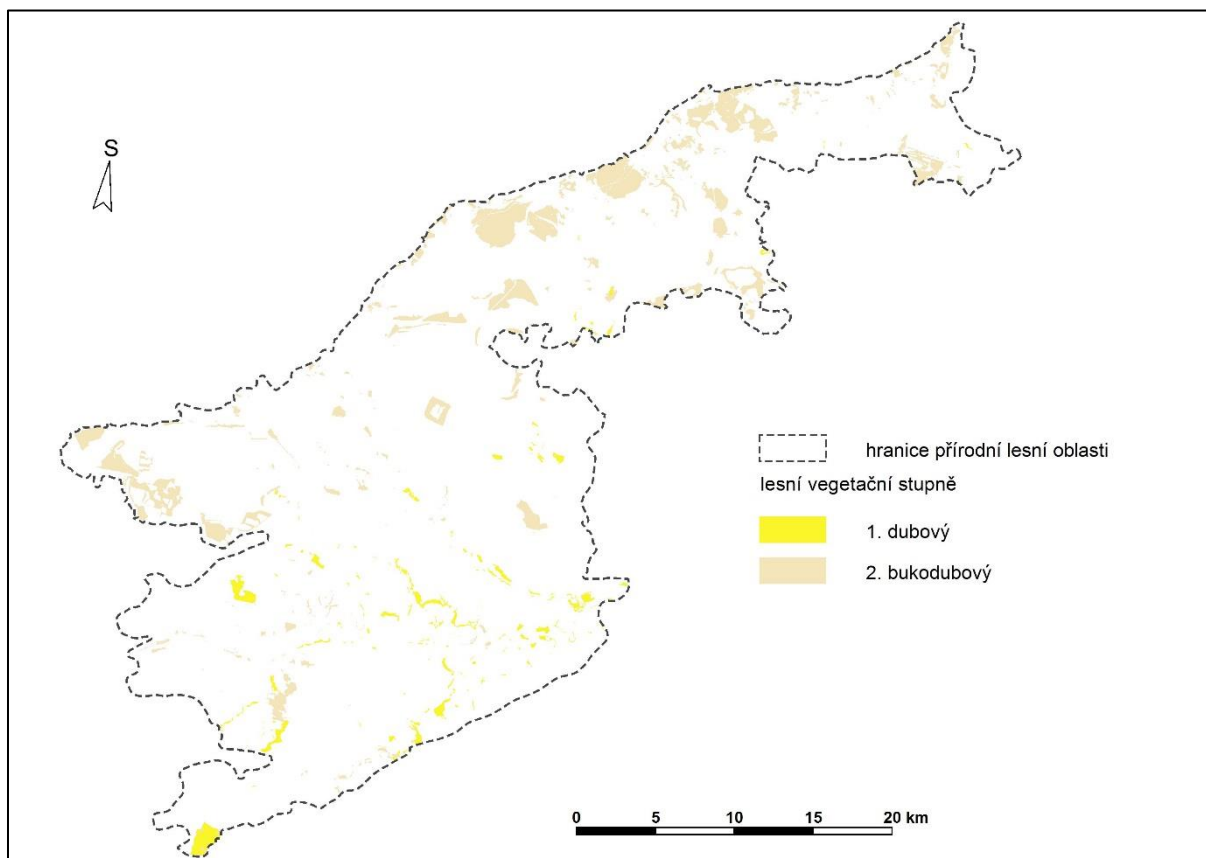
Pro modelové PT to představuje na úrovni CDS majoritní podíl zastoupení dřevin na úrovni přirozené druhové skladby pro danou variantu HS. Hospodářský tvar lesa směřovat k lesu nízkému a sdruženému. Lze oprávněně uvažovat o síji dubu ceru apod.

Na úrovni modifikovatelných PT eliminovat výchovou ve prospěch cílové listnaté skladby, dobu obmýtí přizpůsobit zdravotnímu stavu porostů a vytvářet podmínky pro zajištění obnovy bohatě strukturovaným lesům.

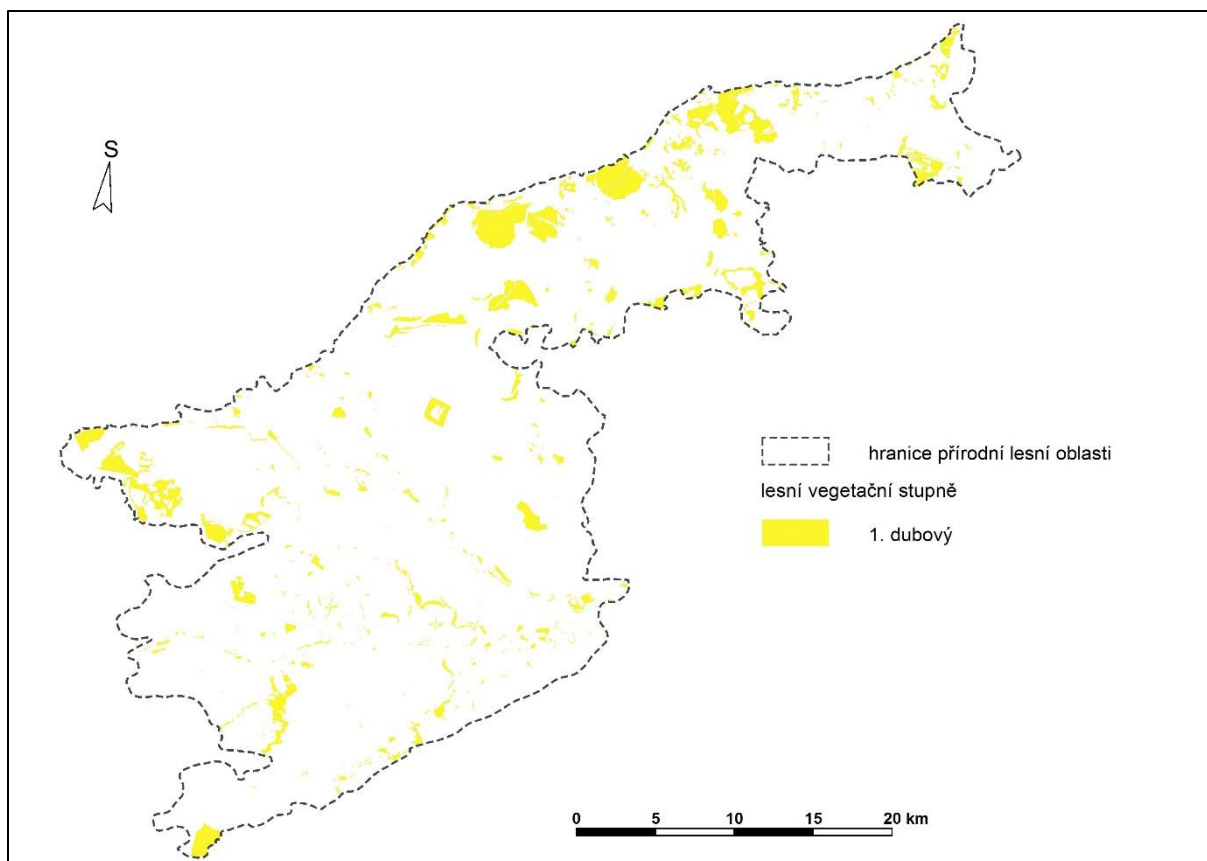
5. Přílohy



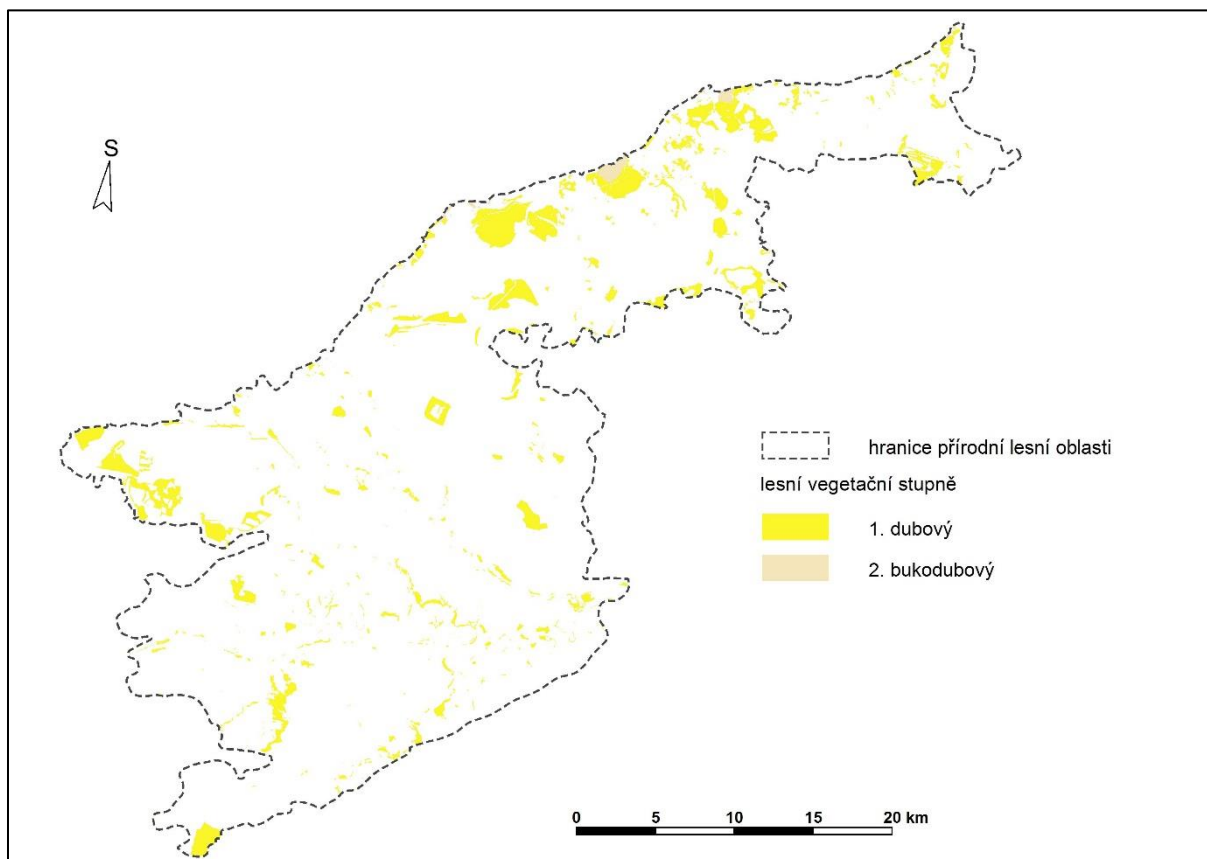
Obr. 1: Prostorová lokalizace transformovaných LVS v PLO 2b dle scénáře HadGem varianty RCP 45 v období C



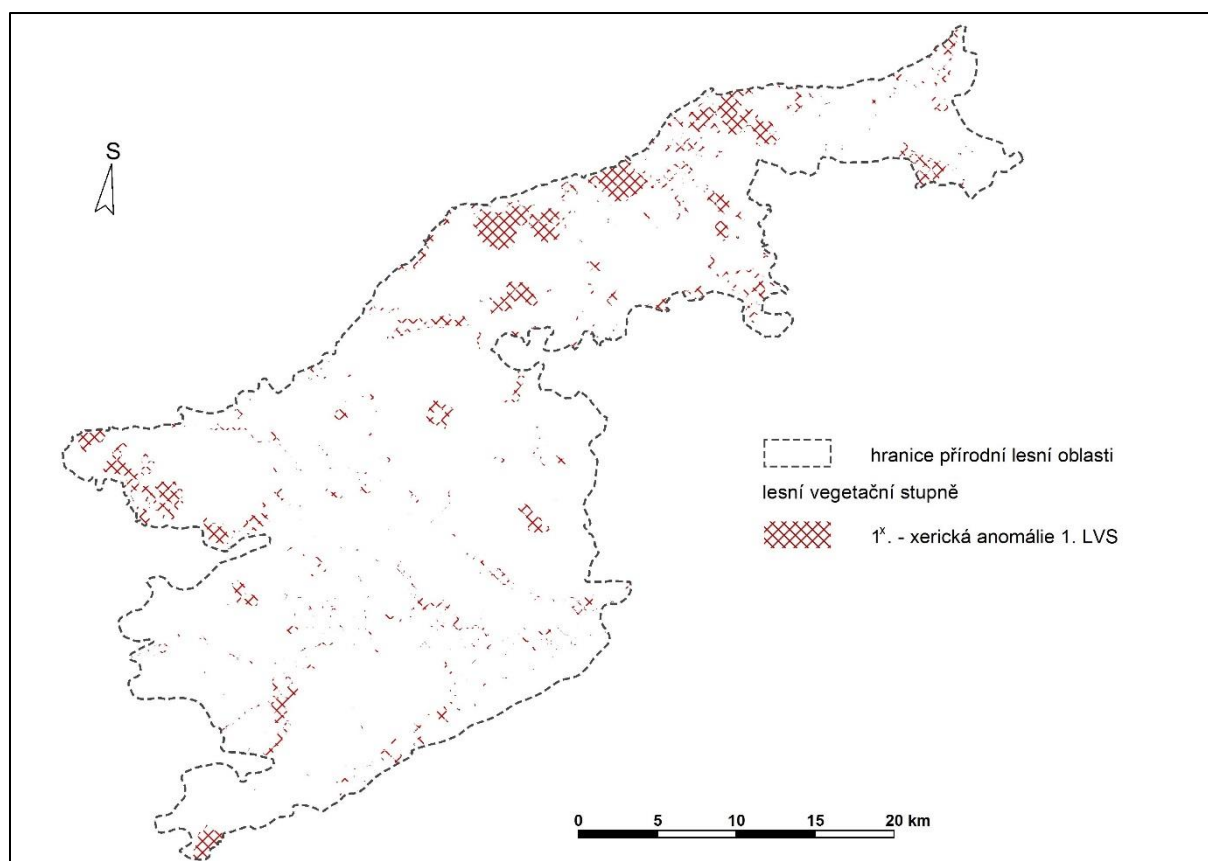
Obr. 2: Prostorová lokalizace transformovaných LVS v PLO 2b dle scénáře HadGem varianty RCP 85 v období C



Obr. 3: Prostorová lokalizace transformovaných LVS v PLO 2b dle scénáře HadGem varianty RCP 45 v obdobích D, E



Obr. 4: Prostorová lokalizace transformovaných LVS v PLO 2b dle scénáře HadGem varianty RCP 85 v období D



Obr. 5: Prostorová lokalizace transformovaných LVS v PLO 2b dle scénáře HadGem varianty RCP 85 v období E